

# ارزیابی استفاده از سیستم زهکشی به منظور پایین آمدن سفره آب زیرزمینی دشت شیراز با استفاده از مدل PMWIN

گلنوش بنی طالبی دهکردی<sup>۱</sup>

غلامرضا رخشنده‌ردو<sup>۲</sup>

احمدرضا کریمی‌پور<sup>۳</sup>

(دریافت ۸/۱۲/۲۰ پذیرش ۹/۰۲/۲۱)

## چکیده

دشت شیراز به دلیل افزایش جمعیت شهری و تبدیل اراضی زراعی و باغها به اماکن مسکونی و همچنین تخریب قنات‌ها که در گذشته کار زهکشی دشت را بر عهده داشتند، با مشکل بالا آمدن سفره آب زیرزمینی در مناطق جنوبی و جنوب شرقی خود مواجه بوده است. برای غلبه بر این مشکل از سال ۱۳۸۲ در این دشت اقدام به احداث سه رشته زهکش شده است که تاکنون بیش از نیمی از این سه رشته زهکش به طول تقریبی ۶/۱۴ کیلومتر در شرق شهر احداث گردیده است. در این تحقیق استفاده از سیستم زهکشی برای پایین آمدن سفره آب زیرزمینی دشت شیراز در سناریوهای مختلف مورد ارزیابی قرار گرفت. در این زمینه ابتدا رفتار هیدرولیکی آبخوان دشت شیراز با استفاده از مدل PMWIN مدل‌سازی شد. در این مدل، زهکش‌های بزرگ در حال احداث در این دشت نیز دیده شد و اطلاعات بارندگی و تبخیر اندازه‌گیری شده در دشت، میزان تغذیه و تخلیه سفره از طریق قناتها و مسیر رودخانه خشک و چنار راهدار و همچنین میزان برداشت آب از چاهها و تغذیه آبخوان به علت فاضلاب برگشته در مدل منظور گردیدند. سپس با واسنجی و صحت‌سنجی مدل و تعیین کلیه پارامترهای موردنیاز، وضعيت سطح آب زیرزمینی دشت در پایان اجرای زهکش و در سناریوهای مختلف شبیه‌سازی گردید. بررسی نتایج حاصل از مدل نشان دهنده عملکرد خوب زهکش‌ها بود که در افزونی دبی زهکشی شده در مقایسه با ورودی و خروجی از دشت در تمام سناریوها خود را نشان داد. همان‌گونه که انتظار می‌رفت، در حالت خشکسالی (سناریوی ۳) کمترین دبی‌های ورودی و خروجی و زهکشی شده از دشت را داشت و در حالت رسالی (سناریوی ۴) بیشترین دبی‌ها مشاهده شد. بررسی‌ها نشان داد برای آنکه سطح آب زیرزمینی تا عمق موردنظر طراح پایین بیفتد باید خطوط فرعی زهکش نیز اجرا شوند که در غیر این صورت مقدار دبی زهکشی شده از نصف برآورد طراح نیز کمتر خواهد بود.

واژه‌های کلیدی: آب زیرزمینی، دشت شیراز، سیستم زهکش، PMWIN، مدل‌سازی

## Evaluating the Performance of Drainage System in Dropping Water Table Elevation in Shiraz Plain

Ahmad Reza Karimipour<sup>1</sup>

Gholam Reza Rakhshandehroo<sup>2</sup>

Golnoosh Banitalebi Dehkordi<sup>3</sup>

(Received Mar. 10, 2010 Accepted May. 10, 2011)

### Abstract

Shiraz plain is facing elevated groundwater level problem in its south and south-eastern regions due to increasing population, conversion of farmlands and gardens into residential areas, and destruction of old Qanats that used to drain the plain. To overcome this problem, construction of three drainage aqueducts in the plain started since 2003. So far, more than half of one main aqueduct, with a length of ~15 km, has been constructed at eastern Shiraz. In this study, performance of the drainage system in dropping groundwater level in the plain has been evaluated under different scenarios. First, the hydraulic behavior of Shiraz plain aquifer was modeled using PMWIN. Besides the main aqueducts, measured precipitation and evaporation, recharge and discharge from the aquifer by remaining old aqueducts, wells, and Khosk and Chenar-Rahdar rivers, and returned wastewater were all considered in the model. After model calibration and verification, the required parameters were determined and groundwater level in the plain was predicted for different scenarios at the end of aqueduct construction.

1. Science Assistant, Dept. of Civil Eng., Payam Noor University of ShahreKord,  
(Corresponding Author) (+98 381) 3336749 ahm.karimipour@gmail.com

۱- دستیار علمی پیش‌مهندسی عمران، دانشگاه پیام نور، مرکز شهرکرد  
(نویسنده مسئول) (+۹۸ ۳۸۱) ۳۳۳۶۷۴۹ ahm.karimipour@gmail.com

2. Assoc.Prof. Dept. of Civil Eng., Shiraz University, Shiraz

۲- دانشیار پیش‌مهندسی راه و ساختمان، دانشکده مهندسی، دانشگاه شیراز

3- M.Sc. Student of Soil Physics and Conservation, College of Agriculture,  
ShahreKord University, ShahreKord

۳- دانشجوی کارشناس ارشد فیزیک و حفاظت خاک، دانشکده کشاورزی، دانشگاه شهرکرد

Results reflect a good performance for aqueducts in all scenarios as evidenced by large volumes of drained water in comparison to other inflow and outflows of water in the aquifer. As expected, the lowest inflow, outflow, and drained water were observed in the plain during the drought (3<sup>rd</sup> scenario), and the highest flows during the wet years (4<sup>th</sup> scenario). Results indicate that in order for groundwater level to drop to the expected extent, lateral aqueducts should also be constructed otherwise the water drained by aqueducts will be less than half of the expected value.

**Keywords:** Groundwater, Shiraz Plain, Drainage System, PMWIN, Modeling.

آبهای زیرزمینی دشت باجگاه با استفاده از مدل ماجولار سه بعدی تفاضل معین مک دونالد و هربا توسط رضایی و موسوی در سال ۱۳۷۱ و پژوهش و بررسی هیدرورژئولوژیکی شکل‌گیری سفره و منابع آبهای زیرزمینی دشت شیراز توسط کمالی در سال ۱۳۷۸ را نام برد [۶].

در سالهای اخیر کاربرد مدل Modflow به عنوان یک مدل مدولار سه بعدی تفاضل محدود برای پیش‌بینی رفتار آبهای زیرزمینی توسعه بسیاری داشته است. مطالعاتی نظری محاسبه ضریب ذخیره و ضریب قابلیت انتقال آبخوان ناتینگهام شایر انگلستان توسط جیانو<sup>۶</sup> و لینر<sup>۷</sup> در سال ۱۹۹۶ و مدل سازی نشت آبخوان و رودخانه در یک آبخوان آبرفتی توسط مایکل براون و همکاران<sup>۸</sup> در سال ۲۰۰۲ و مدل سازی بیلان آبی دشت ریوتوریبو مکریک توسط یوهانس<sup>۹</sup> در سال ۲۰۰۴ از این نمونه‌اند [۱۰-۸]. از جمله تحقیقات دیگری که در این زمینه صورت گرفته است می‌توان به شبیه‌سازی جریان متقارن محوری با دقت بالا با استفاده از Modflow مجهر شده به یک روش جدید توسط سامانی و همکاران در سال ۲۰۰۴ و شبیه‌سازی برهمکنش آبخوان و رودخانه در یک دشت زهکشی شده با استفاده از اتصال کامل دو نرم افزار HECRAS و Modflow توسط کارلس و همکاران<sup>۱۰</sup> در سال ۲۰۰۸ و مقایسه دبی‌های محاسبه شده توسط Modflow و یک مدل آمیخته به دو تریم بر روی یک دشت واقع در محدوده نوادای شرقی توسط روسماری و همکاران<sup>۱۱</sup> در سال ۲۰۰۸ اشاره کرد [۱۳-۱۱].

تحقیقات دیگری نیز در زمینه مطالعه آبهای زیرزمینی صورت گرفته است که می‌توان به پیش‌بینی تغییرات سطح آب زیرزمینی دشت همدان- بهار با مدل سری‌های زمانی توسط رحمانی و سده‌ی در سال ۱۳۸۳، بررسی تأثیر نشست حاصل از تخلیه آب زیرزمینی بر تخریب لوله جدار توسط آل خمیس و همکاران در سال ۱۳۸۵، مدل شبیه‌سازی کمی- کیفی اندرنکنش آبراهه با سفره زیرزمینی توسط صفوی و همکاران در سال ۱۳۸۶، استفاده از الگوریتم

## ۱- مقدمه

به طور کلی، منابع آب زیرزمینی نقش ویژه‌ای در تأمین نیاز آبی یک منطقه دارند و لذا ارزیابی، شبیه‌سازی و مدیریت آنها از اهمیت بالایی برخوردار است. دشت شیراز به طور مشخص، به دلیل افزایش جمعیت شهری و تبدیل اراضی زراعی و با غذا به اماکن مسکونی و همچنین تخریب قناتها که روزی کار زهکشی دشت را بر عهده داشتند، با مشکل بالا آمدن سفره آب زیرزمینی در مناطق جنوبی و جنوب شرقی خود مواجه بوده است. برای غله برو این مشکل از سال ۱۳۸۲ در این دشت اقدام به احداث سه رشته زهکش شده است که تاکنون بیش از نیمی از یکی از این سه رشته زهکش به طول تقریبی ۱۴/۶ کیلومتر در شرق شهر احداث گردیده است. بررسی عملکرد زهکش اجرا شده و پیش‌بینی عملکرد آن پس از اتمام عملیات اجرایی و رفع معایب احتمالی آن نیاز به تحقیق در این زمینه وجود دارد.

مطالعات زیادی در زمینه شبیه‌سازی جریان آب زیرزمینی در آبخوان‌های مختلف صورت گرفته که مطالعه سیستم‌های چند آبخوانی با مدل‌های دوپوئی عددی و تحلیلی توسط بکر<sup>۱</sup> در سال ۱۹۹۹ و مدل سازی برهمکنش آب سطحی و آب زیرزمینی با استفاده از تقریب دوپوئی، توسط اندرسون<sup>۲</sup> در سال ۲۰۰۵ و تخمین پارامترهای جریان آب زیرزمینی به کمک داده‌های بار کل هیدرولیکی توسط یان و همکاران<sup>۳</sup> در سال ۲۰۰۷ از جمله این مطالعات هستند [۳-۱]. استفاده از روش تقاضلات محدود در این شبیه‌سازی‌ها در آبخوان‌های دارای شرایط مختلف توسط محققان متعدد صورت گرفته است که طرحهایی نظری مطالعه جامع مدیریت آبخوان کشور کویت، توسط موچپدایی و همکاران<sup>۴</sup> در سال ۱۹۹۴، تأثیرات واکنش‌های متقابل رودخانه و آبخوان در حوضچه آبریز والنات کاتراس توسط رامید دیگاری و همکاران<sup>۵</sup> در سال ۲۰۰۰ از این نمونه هستند [۴ و ۵]. در مطالعه جریان سه بعدی آبهای زیرزمینی در دشت‌های مختلف ایران نیز از روش تقاضله محدود استفاده شده که به عنوان نمونه می‌توان طرحهای مطالعه

<sup>6</sup> Jiao I

<sup>7</sup> Leaner

<sup>8</sup> Mickell Brewen et al.

<sup>9</sup> Johannes

<sup>10</sup> Karlos et al.

<sup>11</sup> Rosemary et al.

<sup>1</sup> Bakker

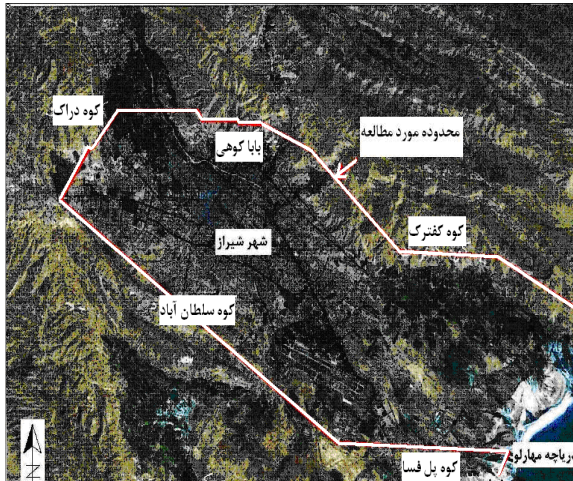
<sup>2</sup> Anderson

<sup>3</sup> Yan et al.

<sup>4</sup> Mukhopadhyay et al.

<sup>5</sup> Ramireddygrai et al.

در محدوده مورد مطالعه تعداد ۳۵ حلقه چاه مشاهده‌ای و پیزومتریک فعال به طور ثابت وجود دارند. در هین اجرای زهکش خاتون نیز ۱۲ پیزومتر در اطراف آن برای قرائت تراز سطح آب ایجاد شد. در این تحقیق آمار نوسانات ماهانه سطح ایستابی ۴۱ حلقه از چاههای مذکور جمع آوری شد و مورد استفاده قرار گرفت و برای نوسانات از آمار ۴/۵ سال استفاده شد و به دلیل کثرت زیاد داده‌ها فقط به عنوان نمونه، آمار نوسانات سطح ایستابی فروردين سال ۱۳۸۳ در جدول ۱ ارائه شده است. همچنان تعداد ۴۲۵ حلقه چاه بهره‌برداری آب سطحی در منطقه موجود است که عمدتاً برای مصارف کشاورزی کاربرد دارند. در جدول ۲ دبی بهره‌برداری فصلی از دو چاه از چاههای دشت به عنوان نمونه نشان داده شده است.



شکل ۱- دشت شیراز و منطقه مورد مطالعه

**۳- شبیه‌سازی آبخوان دشت شیراز**  
آبخوان دشت شیراز به شبکه‌ای مشتمل بر ۱۵۵۰۰ سلول شامل ۱۰۰ ردیف و ۱۵۵ ستون و هر سلول به ابعاد  $200 \times 200$  متر تقسیم گردید. سلولهای فعال در مدل با کد یک و سلولهای غیرفعال با کد صفر و سلولهای با پار هیدرولیکی ثابت با کد منفی یک در نظر گرفته شدند. محدوده مورد بررسی عمدتاً توسط ارتفاعات اطراف محصور بود به طوری که تنها ۳۲ سلول از مرزهای غربی و ۶۳ سلول از مرز جنوب شرقی در تبادل هیدرولیک با مناطق خارج از محدوده مورد بررسی بودند. به لحاظ جريان عمومی آب زیرزمینی از غرب به شرق، سلولهای فعال مرزی واقع در مرز غربی در حکم سلولهای دریافت کننده جريان آب زیرزمینی از خارج به داخل محدوده بوده و در مدل با نام سلول GHB مشخص شدند. سلولهای فعال واقع در مرز جنوب شرقی محدوده مورد بررسی نیز به عنوان سلولهای خارج کننده جريان از این محدوده بوده که

ژنتیک برای تخمین پارامترهای هیدرولیکی سفره آزاد توسعه اصغری مقدم و همکاران در سال ۱۳۸۸ اشاره کرد [۱۴-۱۷]. در این تحقیق استفاده از سیستم زهکشی برای پایین انداختن سفره آب زیرزمینی دشت شیراز مورد ارزیابی قرار گرفت. در این راستا ابتدا رفتار هیدرولیکی آبخوان دشت شیراز با استفاده از مدل PMWIN که هسته اصلی آن را همان نرم‌افزار Modflow تشکیل می‌دهد، مدل‌سازی شد. در این مدل، زهکش‌های بزرگ در حال احداث در این دشت نیز دیده شده و اطلاعات بارندگی و تبخیر اندازه‌گیری شده در دشت، میزان تغذیه و تخلیه سفره از طریق قنات‌ها و مسیر رودخانه خشک و چناراهدار و همچنین میزان برداشت آب از چاهها و تغذیه آبخوان به علت فاضلاب برگشتی در مدل منظور گردیدند. سپس با واسنجی مدل، ضرایب هیدرودینامیکی دشت تعیین شد و با انجام آنالیز حساسیت، چهار پارامتر مهم، شناسایی و مورد بررسی قرار گرفتند. در انتهای، عملکرد زهکش به منظور پایین انداختن سفره آب زیرزمینی در چهار سناریوی مختلف ارزیابی شد.

## ۲- معرفی دشت شیراز

دشت شیراز از شمال به ارتفاعات بابا کوهی و کفترک، از شمال غربی به ارتفاعات کوه دراک، از جنوب به ارتفاعات سبزپوشان و سلطان آباد و از شرق و جنوب شرقی به ارتفاعات پل فسا و دریاچه مهارلو محدود می‌گردد. وسعت این دشت حدود ۳۰۰ کیلومتر مربع است که موقعیت آن در شکل ۱ نمایش داده شده است. بررسی‌های انجام شده نشان داده است که آبرفت دشت شیراز به صورت لا یه لا یه بوده و لا یه‌های رسی بین لا یه‌های آبدار قرار گرفته‌اند بهنحوی که رسوبات آبرفتی دارای ضخامت یک‌نواختی نبوده، و لا یه‌های شنی در بین لا یه‌های رسی و سیلیتی قرار دارند. همچنین اکتشافات ژئوفیزیکی در دشت بیانگر آن است که لا یه آبدار دشت شیراز تا عمق ۲۰۰ متر محدود می‌گردد و در اعماق بیشتر در صورتی که لا یه آبداری وجود داشته باشد از کیفیت مناسبی برخوردار نیست [۱۸]. علاوه بر این، بافت آبرفت در غرب دشت درشت دانه بوده و با نزدیک شدن به دریاچه مهارلو در شرق ریزدانه می‌گردد. بر اساس این مطالعات، سفره آب زیرزمینی دشت شیراز به دو سفره سطحی و عمقی تقسیم شده است. سفره سطحی از سطح آزاد آب زیرزمینی شروع شده و تا عمق حدود ۴۰ متری امتداد می‌یابد و سفره عمیق آب زیرزمینی از حدود عمق ۴۰ متری تا ۲۰۰ متری گسترش یافته است. ارتفاعات منطقه مورد مطالعه از نظر زمین شناسی جزء رشته کوه‌های زاگرس بوده و از تاقدیس‌ها و ناویدیس‌های کشیده با جهت شمال غربی - جنوب شرقی که در امتداد روند چین خورده زاگرس می‌باشد، تشکیل شده است [۱۹].

گام ۱ ماهه تقسیم شد. کل مدت شبیه‌سازی بیش از سه سال و نیم (فروردين ۸۳ تا آبان ۸۶) بوده و از داده‌های مربوط به دو سال و نیم اول برای کالیبراسیون و تعیین ضرایب هیدرودینامیک مدل و از داده‌های مربوط به ۴۰۰ روز بعد برای انجام صحت سنجی و آنالیز حساسیت مدل استفاده شد.

اصطلاحاً با عنوان سلوهای تخلیه مشخص گردیدند. شکل ۲ وضعیت شبکه‌بندی آبخوان دشت شیراز و سلوهای شبکه را نشان می‌دهد.

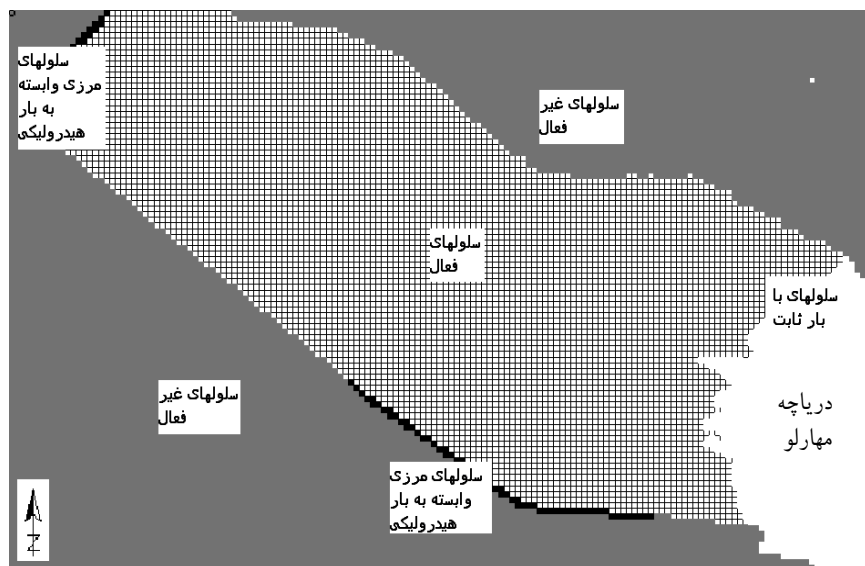
مدل‌سازی دشت در حالت غیر ماندگار با دوره زمانی سه ماهه صورت گرفت که برای حل معادله دیفرانسیل، هر دوره زمانی به سه

جدول ۱- آمار نوسانات تراز آب در پیزومترهای مختلف در فروردین ماه سال ۱۳۸۳

۹	۸	۷	۶	۵	۴	۳	۲	۱	شماره پیزومتر
۱۵۱۲/۲۷	۱۵۱۶/۲۲	۱۵۲۲/۹۸	۱۵۲۸/۱۱	۱۵۱۹/۳۲	۱۵۵۱/۹۴	۱۵۴۲/۵۹	۱۵۶۲/۲۷	۱۵۵۴/۶۷	تراز آب
۱۸	۱۷	۱۶	۱۵	۱۴	۱۳	۱۲	۱۱	۱۰	شماره
۱۴۹۵/۸۱	۱۵۱۰/۵۱	۱۵۲۶/۳۷	۱۴۸۰/۳۷	۱۴۹۰/۹۲	۱۵۰۴/۱۶	۱۵۲۳/۳۴	۱۵۲۹/۱۲	۱۵۰۲/۲	پیزومتر
۲۷	۲۶	۲۵	۲۴	۲۳	۲۲	۲۱	۲۰	۱۹	تراز آب
۱۴۶۲/۰۱	۱۴۶۳/۰۵	۱۴۸۱/۷۱	۱۴۶۷/۶۳	۱۴۷۸/۰۷	۱۴۷۶/۷	۱۴۸۴/۶۳	۱۴۹۱/۴۶	۱۴۹۲/۳۵	شماره
				۳۲	۳۱	۳۰	۲۹	۲۸	پیزومتر
			۱۴۷۷/۹۱	۱۴۷۷/۳۱	۱۴۷۷/۳۱	۱۴۵۹/۱۶	۱۴۵۸/۸۷	تراز آب	شماره

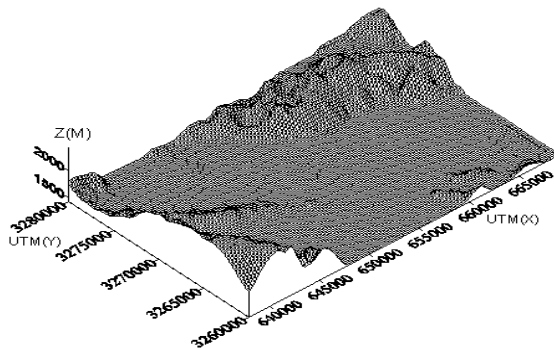
جدول ۲- مشخصات دو چاه بهره‌برداری دشت شیراز به عنوان نمونه

UTM (x)	UTM (Y)	دبي بهار (m³/d)	دبي تابستان (m³/d)	دبي پاییز (m³/d)	دبي زمستان (m³/d)
۶۵۶۹۰۱	۳۲۷۲۴۹۷	-۲۱۷	-۳۷۹	-۳۹۲	-۱۱۲
۶۵۷۶۲۴	۳۲۷۳۹۸۴	-۳۴۶	-۴۱۲	-۳۹۸	-۱۷۰/۴



شکل ۲- وضعیت شبکه‌بندی آبخوان دشت شیراز و سلوهای شبکه

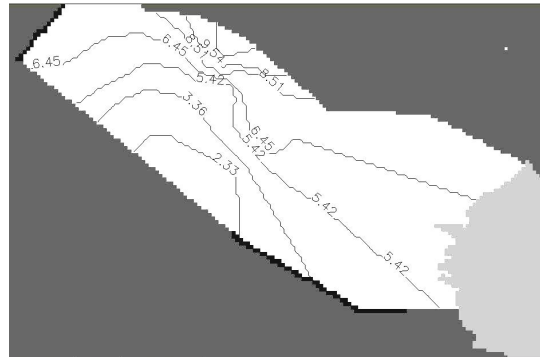
در زمینه نقاط ارتفاعی دشت انجام شد و نقشه توپوگرافی دشت در فواصل ۲۰۰ متری تهیه گردید (شکل ۶). با کم کردن مقادیر رقوم لایه غیر قابل نفوذ کف از رقوم سطح زمین، ضخامت سلول‌ها در مدل تعیین شده و به نرم افزار داده شد. برای تعیین تبخیر و تعرق در مدل از آمار ایستگاه تبخیرسنجی فرودگاه شیراز استفاده شد.



شکل ۶- نقشه توپوگرافی دشت شیراز

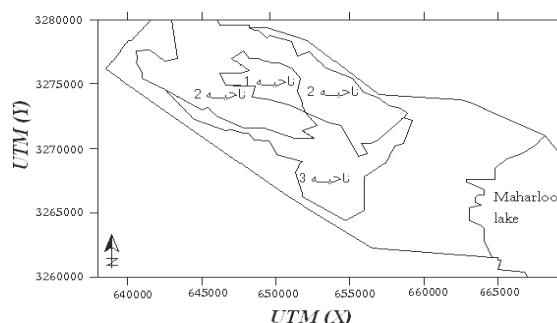
برای تعیین مقادیر اولیه آبدهی ویژه و هدايت هیدرولیکی از اندازه‌گیری‌های انجام شده آبدهی ویژه و هدايت هیدرولیکی در ۱۱ چاه مختلف در سطح دشت استفاده شد که نتیجه توزیع آنها در دشت به ترتیب در شکلهای ۳ و ۴ نمایش داده شده است.

رقوم لایه غیرقابل نفوذ کف آبخوان از نقشه‌های موجود به دست آمده و با درونیابی، رقوم آن لایه در تمام دشت با فواصل ۲۰۰ متری تعیین شد (شکل ۵). همین روای اطلاعات موجود



شکل ۳- نحوه توزیع مقادیر اولیه هدايت هیدرولیکی ( $m/d$ ) در نقاط مختلف دشت

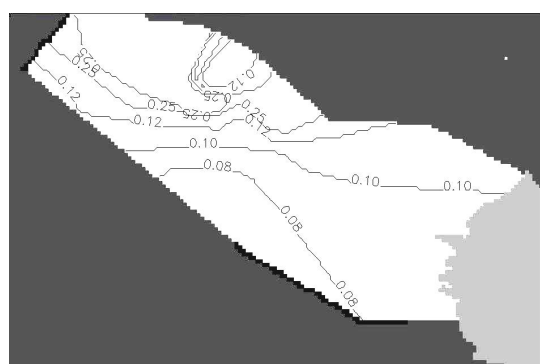
یکی از منابع تغذیه سفره‌های آب زیرزمینی، نفوذ آب بارندگی است. برای محاسبه نفوذ ناشی از بارش‌های جوی در هر گام زمانی، مقادیر تلفات اولیه و رواناب، از متوسط بارش ماهانه کسر گردید. با توجه به مطالعات انجام شده قبلی، ابتدا  $1/6$  میلی‌متر از هر بارندگی به علت تلفات اولیه کسر گردید و سپس برای تعیین و کسر مقدار رواناب، مطابق شکل ۷ از تقسیم‌بندی دشت به نواحی جمعیتی سه گانه و ضریب رواناب برای هر ناحیه استفاده گردید (جدول ۳) [۲۰].



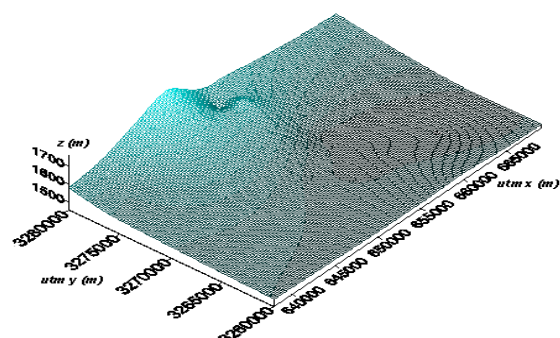
شکل ۷- تقسیم‌بندی دشت شیراز به نواحی جمعیتی سه گانه

جدول ۳- ضریب رواناب مناطق سه گانه

نواحی جمعیتی	ضریب رواناب
۱ پر تراکم شهری	۰/۶۵ - ۰/۷۵
۲ با تراکم متوسط	۰/۵۰ - ۰/۶۰
۳ کم تراکم	۰/۳۵ - ۰/۴۰



شکل ۴- نحوه توزیع مقادیر اولیه آبدهی ویژه (بی بعد) در نقاط مختلف دشت



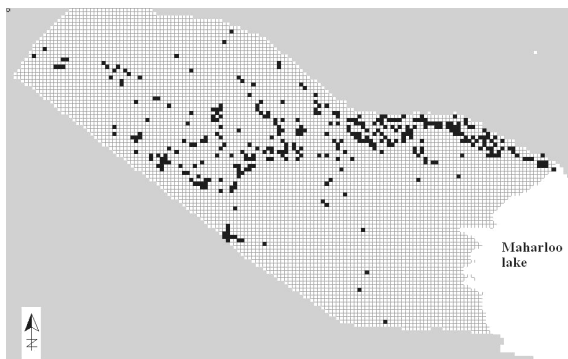
شکل ۵- رقوم لایه غیر قابل نفوذ کف آبخوان سطحی دشت

جدول ۴- مقدار مصرف سرانه آب و تولید سرانه فاضلاب در سالهای ۸۰ و ۹۰ در شهر شیراز [۲۰]

سال	جمعیت	ش ragazzo	۱۳۸۵	۱۳۹۰
	متوسط	حداقل	حداکثر	متوسط
مصرف سرانه آب (لیتر در روز)	۱۹۰	۱۴۳	۲۵۷	۱۹۸
تولید سرانه فاضلاب (لیتر در روز)	۱۱۰	۱۴۷	۱۹۸	۱۶۳
			۲۲۰	۲۶۷
			۱۶۱۵۲۵۰	

موقعت در اطراف زهکش برای خشک اندازی مسیر حفاری زهکش (۵۰۰ حلقه چاه) بود. پس از عبور زهکش از چاههای موقعت، چاههای یاد شده غیر فعال می‌شوند به طوری که میزان کارکرد بعضی از آنها فقط ۴ ساعت در شبانه روز است.

شبکه زهکشی احداث شده یکی دیگر از منابع تخلیه آبخوان دشت شیراز است. پس از شبکه‌بندی آبخوان، مسیر احداث شده زهکش خاتون در محدوده ۷۶ سلول قرار گرفت (شکل ۹).



شکل ۸- موقعیت چاههای بهره برداری سطحی و چاههای پمپاژ موقع اطراف زهکش در دشت شیراز



شکل ۹- موقعیت زهکش خاتون در مدل

۳-۳- تعیین شرایط اولیه  
شرایط اولیه، از مهم‌ترین پارامترهای حل معادلات دیفرانسیل جزئی در آبهای زیرزمینی است که مدل با داشتن این شرایط،

از منابع دیگر تغذیه سفره‌ها، برگشت آب مصرفی یا پساب به آنهاست. در این تحقیق، با توجه به پژوهش و پیش‌بینی انجام شده توسط سازمان مسکن و شهرسازی استان فارس، میزان ماهیانه آب مصرفی و پساب تولید شده در هر منطقه از دشت، به تراکم جمعیتی در آن منطقه وابسته گردید. لذا با استفاده از ناحیه‌بندی جمعیتی دشت و تولید سرانه فاضلاب، مقدار پساب تولید شده در هر گام زمانی محاسبه شد (شکل ۷). جدول ۴ برآورد مقدار مصرف حداقل، متوسط و حداکثر مصرف سرانه آب و تولید سرانه فاضلاب در سالهای ۸۰ و ۹۰ را به طور نمونه نشان می‌دهد.

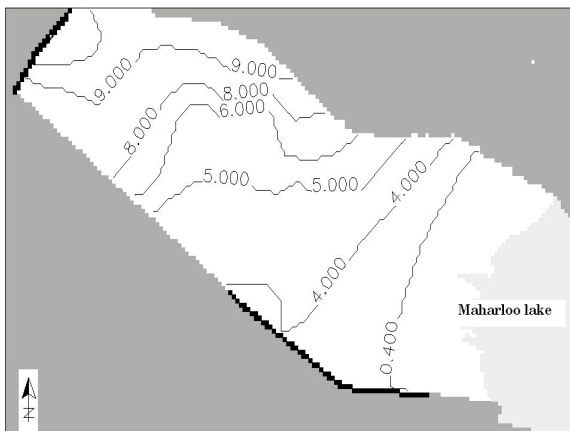
میزان آب برگشتی کشاورزی به سفره‌های آب زیرزمینی معمولاً به عنوان درصدی از کل مقدار آب مصرفی آبیاری است که در ماههای سال متفاوت خواهد بود. بر اساس مطالعات انجام شده، حجم ماهیانه آب ورودی به سفره سطحی به علت برداشت آب کشاورزی از سفره عمیق در جدول ۵ نشان داده شده است.

جدول ۵- حجم آب ورودی به سفره سطحی به علت آب کشاورزی  
برداشت شده از سفره عمیق [۲۰]

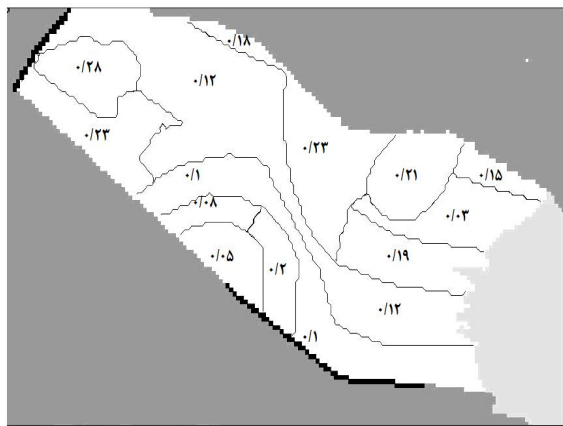
دوره زمانی	بهار	تابستان	پاییز	زمستان
حجم آب ورودی (هزار متر مکعب)	۳۰۱۹	۳۰۱۹	۳۰۱۹	۳۰۱۹

۲-۳- منابع تخلیه  
یکی از منابع مهم تخلیه آبخوان‌ها، چاههای برداشت آب هستند. برای محاسبه میزان برداشت آب، از کلیه چاهها آمار برداری شد و عمق چاه، نوع مصرف، آبدهی و تعداد ساعات بهره‌برداری در شبانه روز مشخص گردید [۱۸]. از میزان آب برداشت شده مقداری به اشکال مختلف مجدداً به سفره برگردانده شد. این میزان آب برگشت شده به سفره محاسبه و در نهایت مقداری که عملاً از سفره در طول سال برداشت می‌گردد و در کاهش سطح سفره آب مؤثر است به صورت فایل ماتریسی به نرم افزار وارد شد. موقعیت این چاهها در کل دشت در شکل ۸ نمایش داده شده است که شامل چاههای بهره‌برداری سطحی در کل منطقه (۴۲۵ حلقه چاه) و چاههای پمپاژ

دارای مقادیر متفاوتی هستند، لذا منطقه مورد نظر بر اساس بافت آن به چندین ناحیه برای تعیین ضریب هدایت هیدرولیکی آبدهی ویژه تقسیم شد. با اجرای متالی مدل به ازای مقادیر مختلفی از این ضرایب، واسنجی مدل انجام شد بهگونه‌ای که بهترین تطابق تراز سطح ایستابی مشاهداتی و محاسباتی در چاههای مورد نظر به دست آید. شکل‌های ۱۲ و ۱۳ به ترتیب ناحیه‌بندی هدایت هیدرولیکی و آبدهی ویژه آبخوان را پس از واسنجی مدل نشان می‌دهند.



شکل ۱۲- ناحیه‌بندی هدایت هیدرولیکی ( $m/d$ ) در دشت پس از واسنجی



شکل ۱۳- نمودار ناحیه‌بندی آبدهی ویژه پس از واسنجی مدل

برازش مقادیر تراز ایستابی محاسباتی و مشاهداتی پس از انجام واسنجی در شکل ۱۴ آمده است. همان‌طور که از مقایسه شکل‌های ۱۱ و ۱۴ ملاحظه می‌شود انجام واسنجی باعث نزدیک‌تر شدن تراز ایستابی محاسباتی و مشاهداتی به یکدیگر شده به طوری که واریانس به حدود ۳ متر مربع کاهش یافته است.

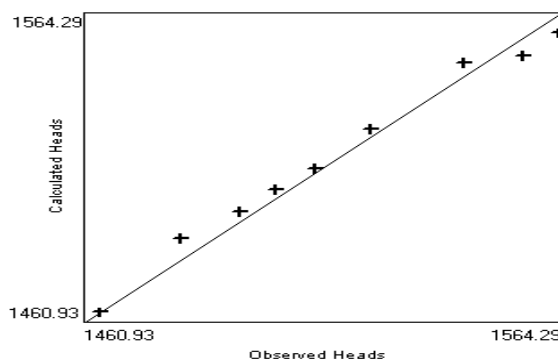
محاسبات را شروع می‌کند. با توجه به اینکه شبیه‌سازی مدل در سال ۱۳۸۳ آغاز می‌شود، آمار سطح ایستابی مربوط به فروردین سال ۱۳۸۳ به عنوان شرایط اولیه حالت غیرماندگار در اختیار مدل قرار گرفت. شکل ۱۰ تراز سطح ایستابی اولیه مربوط به فروردین سال ۱۳۸۳ در سلولهای مدل را نشان می‌دهد. همان‌گونه که انتظار می‌رود سطح ایستابی، جهت عمومی جريان غرب به شرق آب زيرزميني در دشت را نشان می‌دهد.



شکل ۱۰- تراز سطح ایستابی اولیه مربوط به فروردین ماه سال ۸۳

#### ۴- واسنجی مدل

نتایج حاصل از اولین اجرای مدل (قبل از واسنجی) به عنوان تراز ایستابی محاسباتی در شکل ۱۱ با تراز ایستابی مشاهداتی در ۹ چاه مقایسه شد. همان‌گونه که مشخص است مقادیر محاسباتی در اغلب چاهها از مقادیر مشاهداتی بالاتر هستند و واریانس به دست آمده از ۱۹ متر مربع بیشتر است.



شکل ۱۱- برآش مقادیر تراز ایستابی محاسباتی و مشاهداتی قبل از واسنجی

از آنجا که ضرایب هیدرودینامیک آبخوان با توجه به بافت زمین‌شناسی منطقه و غیرهمگن بودن آبخوان در نقاط مختلف دشت

پایان اجرای زهکش و در سناریوهای مختلف شبیه‌سازی گردید.

سناریوهای در نظر گرفته شده در این مورد به صورت زیر بودند:  
حالت اول: با توجه به توسعه شهر در منطقه کفترک و تبدیل زمین‌های کشاورزی به مسکونی، در این حالت چاههای برداشت آب کشاورزی در محدوده کفترک خاموش شده و وضعیت آب زیرزمینی دشت با و بدون زهکش بررسی گردید.

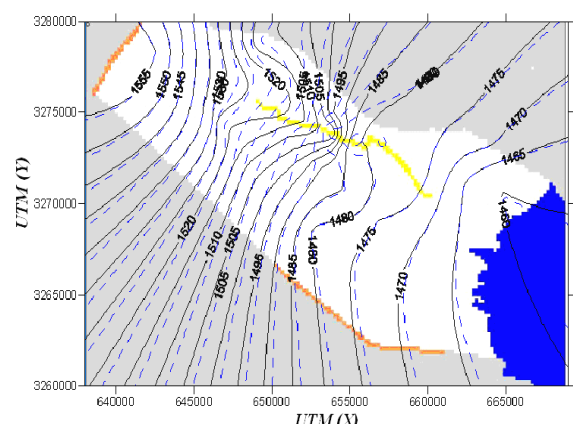
حالت دوم: در این حالت نتایج مدل با زهکش و بدون زهکش در نظر گرفته شد.

حالت سوم: عملکرد زهکش‌ها و وضعیت سطح آب زیرزمینی در حالت خشکسالی بررسی شد.

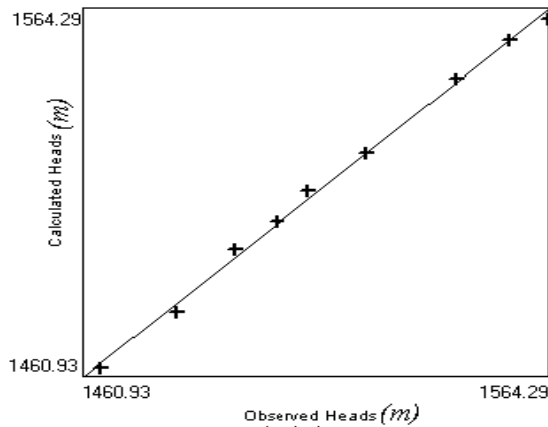
حالت چهارم: عملکرد زهکش‌ها و وضعیت سطح آب زیرزمینی در پایان اجرای زهکش در حالت ترسالی بررسی شد.

#### ۶- نتایج حاصل از حالت اول

در شکل ۱۶ مقایسه سطح ایستابی در آبخوان دشت شیراز با و بدون احداث زهکش ترسیم شده است. به طور مشخص با اجرای زهکش، سطح آب در تمامی دشت بهشت کاهش یافته و تنها در گوشه‌ای از دشت که چاههای برداشت محدود، کفترک بوده و خاموش شده‌اند کمی افزایش نشان می‌دهد. بهمنظور تعیین میزان افت در سطح ایستابی، خطوط هم کاهش سطح آب در شکل ۱۷ آمده است. همان‌طور که شکل نشان می‌دهد بیشترین میزان کاهش در ناحیه شمالی (قسمت ابتدای زهکش) به میزان حدود ۱۰ متر اتفاق می‌افتد و در قسمت انتهایی زهکش و در نزدیک دریاچه مهارلو مقدار افت بسیار کم (حدود نیم متر) است. به نظر می‌رسد علت این موضوع تغییر بافت خاک و ریزدانه شدن آن از غرب به شرق است که با کاهش هدایت هیدرولوژیکی شعاع تأثیر زهکش را



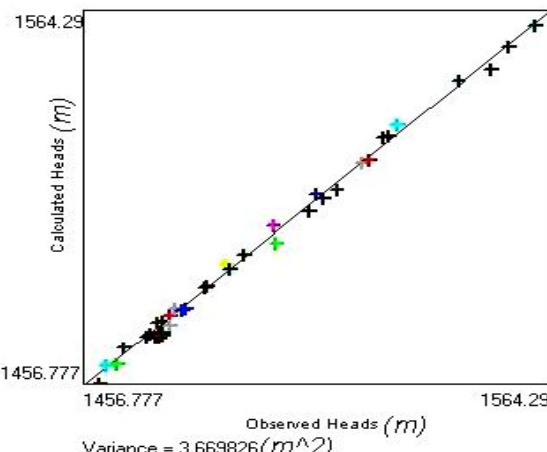
شکل ۱۶- مقایسه سطح ایستابی در آبخوان دشت شیراز با زهکش (خط پر) و بدون زهکش (خط چین)



شکل ۱۴- برازش مقادیر تراز ایستابی محاسباتی و مشاهداتی پس از صحت سنجی

#### ۵- صحت سنجی

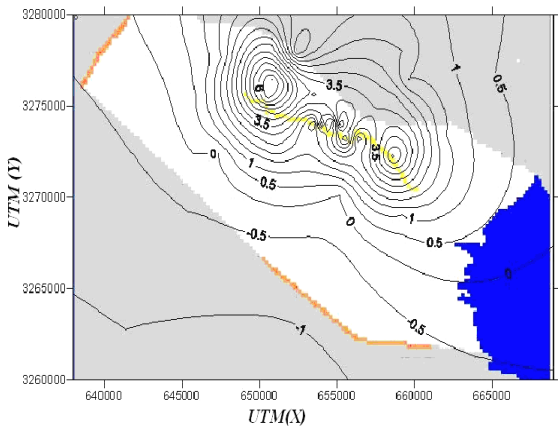
از اطلاعات مربوط به سالهای شهریور ۸۵ تا شهریور ۸۶ به منظور صحت سنجی استفاده شد. استرس‌های وارد بر آبخوان مثل رویه قبل در نظر گرفته شد. نتایج حاصل از صحت سنجی در شکل ۱۵ ارائه شده است که نشان دهنده برازش خوب بین مقادیر محاسباتی و مشاهداتی است.



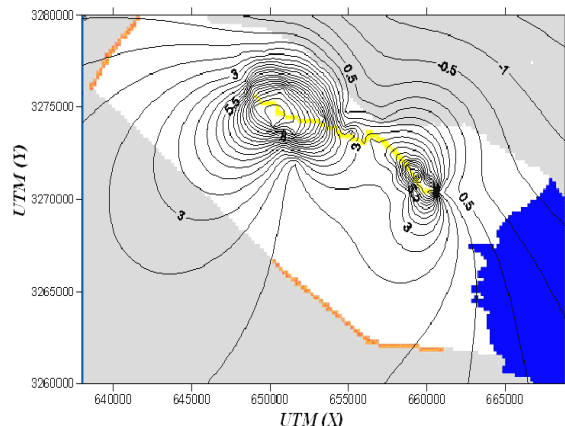
شکل ۱۵- نمودار برازش مقادیر سطح ایستابی محاسباتی و مشاهداتی پس از صحت سنجی (برای کل بازه زمانی)

#### ۶- نتایج عملکرد سیستم زهکش

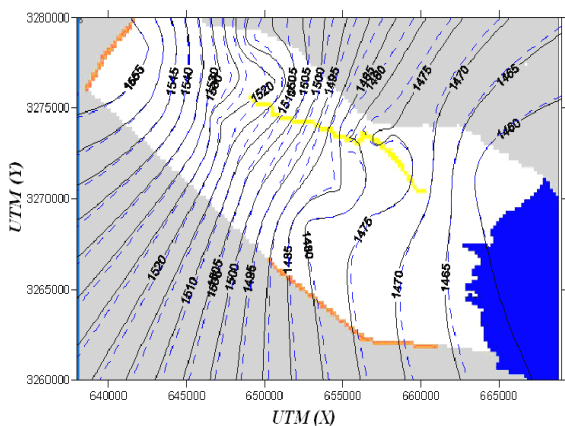
پس از انجام واسنجی و صحت سنجی مدل و تعیین کلیه پارامترهای مورد نیاز، وضعیت سطح آب زیرزمینی دشت شیراز در



شکل ۱۸- خطوط هم کاوش سطح آب زیرزمینی پس از اجرای زهکش خاتون در حالت دوم



**شکل ۱۷**- خطوط هم کاوش سطح آب زیرزمینی پس از اجرای زهکش در حالت اول



**شکل ۱۹** - مقایسه سطح ایستایی با زهکش (خط توپر) و بدون زهکش  
 (خط چین) در حالت دوم

کمتر است که با توجه به کاهش ورودی (بارندگی)، منطقی به نظر می‌رسد. در این حالت کاهش سطح آب در حاشیه دریاچه مهارلو نیز مشهود است.

#### ۶- نتایج مدل در حالت چهارم (ترسالی)

شکل ۲۱ خطوط هم‌کاهش سطح آب ذیرمینی پس از اجرای زهکش را نشان می‌دهد. همان‌طور که در شکل مشاهده می‌شود سطح آب در محل زهکش تا حدود ۱۰ متر پایین می‌افتد ولی در نواحی جنوبی و نزدیک دریاچه مهارلو و نواحی شمال غربی افزایش سطح آب تا حدود ۲ متر مشاهده می‌شود. این افزایش تراز آب با توجه به افزایش ورودی آب به آبخوان در ترسالی توجیه پذیر بوده و لزوم اجرای سایر خطوط شبکه زهکش شهر رانیز به خوبی نمایان می‌سازد. پیلان آب در حالات مختلف و میزان خروجی آب از

نیز کم می‌کند. علاوه بر این، نزدیک شدن تراز مسیر عبور زهکش به سطح زمین هم در کاهش مقدار افت در شرق دشت مؤثر بوده است. لذا در مجموع، با اجرای زهکش در حالتی که چاههای برداشت کفترک خاموش شوند حدود ۱۰ متر افت سطح ایستابی در ابتدا و حدود نیم متر در انتهای مسیر زهکش پیش‌بینی می‌شود.

۶- نتایج حاصل از حالت دوم

در شکل ۱۸ خطوط هم کاهش سطح آب زیرزمینی پس از اجرای کامل زهکش خاتون و در شکل ۱۹ سطح ایستایی در آبخوان دشت شیراز با زهکش و بدون آن نمایش داده شده است. همان‌طور که مشاهده می‌شود سطح آب زیرزمینی در بیشتر مناطق دشت پایین می‌افتد. کاهش سطح آب در اطراف زهکش بیشتر (تا حدود ۶ متر) است. در مجموع، افت تراز آب در این حالت از افت در حالت اول کمتر است که با توجه به کمتر شدن ورودی فاضلاب برگشتی به آبخوان در حالت دوم، منطقی به نظر می‌رسد. بر این اساس می‌توان نتیجه گرفت که عملکرد همزمان زهکش و شبکه جمع‌آوری فاضلاب شهری شیراز نه تنها با یکدیگر تداخل نداشته بلکه طرحهای مذکور مکمل یکدیگر نیز خواهند بود. به نظر می‌رسد افزایش انداک (حدود نیم متری) سطح آب زیرزمینی در مناطق جنوبی دشت به علت ورود آب از مرز جنوبی به دشت باشد که این نتیجای نیال کاهش کلی تراز آب در دشت صورت می‌پذیرد.

### ۶- نتایج مدل در حالت سوم (خشکسالی)

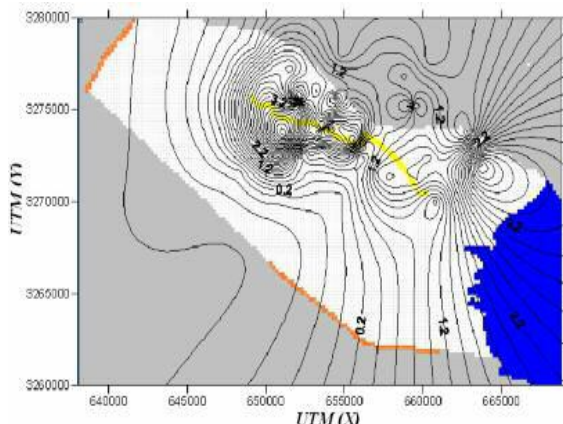
شکل ۲۰ خطوط هم کاهش سطح آب زیرزمینی پس از اجرای زهکش در حالت خشکسالی را نشان می‌دهد. در این حالت کاهش تراز سطح آب (تا حدود ۴ متر) و کاهش دبی عبوری از زهکش مشاهده می‌شود. این افت بار کل هیدرولیکی در دشت از حالت دوم

بررسی و مقایسه گردید. این مقایسه در سناریوهای مختلف در جدول ۶ آمده است.

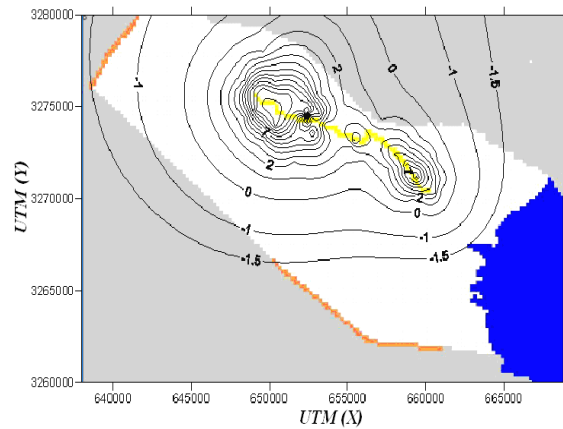
عملکرد خوب زهکش‌ها در افزونی دبی زهکشی شده در مقایسه با ورودی و خروجی از دشت در تمام سناریوها مشخص است. همان‌گونه که انتظار می‌رود مقایسه سناریوها با یکدیگر نشان می‌دهد که در حالت خشکسالی (سناریوی ۳) کمترین دبی‌های ورودی و خروجی و زهکشی شده و در حالت تراسالی (سناریوی ۴) بیشترین دبی‌ها مشاهده شد. نکته قابل توجه در حالت تراسالی (سناریوی ۴) معکوس شدن جهت جریان در مرز غربی دشت است که خروج اندکی آب از آن مرز را به علت افزایش تراز آب زیرزمینی دشت نشان می‌دهد. این موضوع با بالا آمدن سطح ایستابی در این سناریو نیز هماهنگی دارد (شکل ۲۱). قابل ذکر است که مقدار دبی عبوری از زهکش خاتون که توسط مهندسین مشاور طرح پیش‌بینی شده ۸۶۴۰۰ متر مکعب در روز بوده است [۲۰]. البته در این محاسبه، زهکش اصلی خاتون به همراه تمامی زهکش‌های فرعی متصل به آن مورد بررسی بوده‌اند و لذا با توجه به مقادیر بالا که توسط مدل محاسبه شده است، نتیجه‌گیری می‌شود که بدون اجرای شبکه‌های فرعی، مقدار دبی زهکشی شده از نصف برآورد طراح نیز کمتر خواهد بود.

#### ۸- نتیجه‌گیری

مدل جریان هیدرولیکی آب زیرزمینی دشت شیراز با زهکش‌های آن در محیط PMWIN صورت گرفت. پس از انجام واسنجی و صحت‌سنجی مدل و تعیین کلیه پارامترهای مورد نیاز، وضعیت سطح آب زیرزمینی دشت در پایان اجرای زهکش و در سناریوهای مختلف شبیه‌سازی گردید. بررسی نتایج حاصل از مدل، نشان دهنده عملکرد خوب زهکش‌ها بود که در افزونی دبی زهکشی شده در مقایسه با ورودی و خروجی از دشت در تمام سناریوها خود را نشان داد. همان‌گونه که انتظار می‌رفت در حالت خشکسالی (سناریوی ۳) کمترین دبی‌های ورودی و خروجی و زهکشی شده از دشت وجود داشت و در حالت تراسالی (سناریوی ۴) بیشترین دبی‌ها مشاهده شد. برای آنکه بتوان



شکل ۲۰- خطوط هم کاهش سطح آب زیرزمینی پس از اجرای زهکش در حالت سوم (خشکسالی)



شکل ۲۱- خطوط هم کاهش سطح آب زیرزمینی پس از اجرای زهکش در حالت چهارم (ترسالی)

زهکشها می‌توانند به ارزیابی بیشتر رفتار هیدرولیکی آب زیرزمینی دشت در حالات مختلف کمک نماید.

#### ۷- بیلان آبی در منطقه مورد مطالعه

با استفاده از بیلان آبی در منطقه، میزان آب زیرزمینی ورودی و خروجی به دشت از مرزها و دبی زهکشی شده در حالات مختلف

جدول ۶- میزان ورودی و خروجی از مرزها در سناریوهای مختلف (متر مکعب در روز)

سناریو	ورودی از مرز غربی	خروجی به دشت قره باغ	دبی خروجی از زهکش	خرسچه به دریاچه مهارلو
۱- خاموشی چاههای کفترک	۱۳۵۷	-۲۵۳۲	-۲۳۵۸	-
۲- اجرای شبکه فاضلاب	۱۲۵۶	-۱۸۰۰	-۳۸۵۸	-
۳- خشکسالی	۴۰۶	-۱۰۰۰	-۱۳۶۰	-
۴- تراسالی	-۸۰	-۵۷۶۱	-۶۲۹۷	-

سطح آب زیرزمینی را تا عمق مورد نظر طراح، پایین انداخت  
باید خطوط فرعی زمکش نیز اجرا شوند که در غیر این صورت  
مقدار دبی زمکشی شده از نصف برآورد طراح نیز کمتر خواهد  
بود.

#### ۹- مراجع

- 1- Bakker, M. (1999). "Simulating groundwater flow in multi-aquifer systems with analytical and numerical Dupuit models." *J. of Hydrology*, 222, 55-64.
- 2- Anderson, E.I. (2005). "Modeling groundwater-surface water interactions using Dupuit approximation." *J. of Advances in Water Resources*, 28, 315-327.
- 3- Knowles, I., and Yan, A. (2007). "The reconstruction of groundwater parameters from head in an unconfined aquifer." *J. of Computational and Applied Mathematics*, 208, 72-81.
- 4- Mukhopadhyay, A., Al-Sulaimi, J., and Barrat, M. J. (1994). "Numerical modeling of groundwater resource management options in Kuwait." *Groundwater*, 32(6), 917-928.
- 5- Ramireddygari, S. R., Sophocleous, M. A., Koelliker, J. K., Perkins, S. P., and Govindaraju, R. S. (2000). "Development and application of a comprehensive simulation model to evaluate impacts of watershed structures and irrigation water use on stream flow and groundwater: The case of wet walnut Creek watershed, Kansas, USA." *J. of Hydrology*, 236 (3), 223-246.
- 6- Rezaei, H., and Mousavi, S.A. (2003). "Study of Bajgah plain groundwater situation using the finitedifference there dimensional modular Modflow model." *Proc. of the Second National Student Conf. on Water and Soil Resources*, Shiraz University, 907-916. (In Persian)
- 7- Kamali, G. (2003) "Investigating caases of groundwater uplift in urban aeras and its adverse environmental consequences (with due attention to shiraz Plain)." *Proc. of the 8<sup>h</sup> National Seminar on Irrigation and Evaporation Reduction*, Shahid Bahonar University, Kerman. (In Persian)
- 8- Jiao, J. J., and Leaner, D. N. (1996). "Using sensitivity analysis to assist parameter zonation in groundwater flow model." *Water Resources Bulletin*, 32(1), 75-78.
- 9- Osman, Y. Z., and Bruen, M. P. (2002). "Modeling stream-aquifer seepage in an alluvial aquifer: An improved loosing- stream package for MODFLOW." *J. of Hydrology*, 264, 69-86.
- 10- Johannes, H. A. (2004). "Modeling water balance in Rio Turbio aquifer, Mexico." M.Sc. Thesis, Wagenin Gen University Mexico.
- 11- Samani, N., Kompani-Zare, M., and Barry, D. A. (2004). "MODFLOW equipped with a new method for the accurate simulation of axisymmetric flow." *J. of Advances in Water Resources*, 27, 31- 45.
- 12- Rodriguez, L. B., Cello, P. A., Vionnet, C. A., and Goodrich, D. (2008). "Fully conservative coupling of HEC-RAS with MODFLOW to simulate stream-aquifer interactions in a drainage basin." *J. of Hydrology*, 353, 129-142.
- 13- Rosemary, W. H. C., Greg, M. P., Earman, S., and Ronald, L. H. (2008). "A comparison of groundwater fluxes computed with MODFLOW and a Mixing model using Deuterium: Application to the eastern Nevada test site and vicinity." *J. of Hydrology*, 361, 371- 385.
- 14- Rahimi, A., and Sedehi, M. (2005). "Predication of groundwater level changes in the plain of hamedan-Bahar using time series model." *J. of Water and Wastewater*, 51, 42-49. (In Persian)
- 15- Alkhamis, R., Kariminasab, S., and Aryana, F. (2007). "Investigating the effect of land subsidence due to groundwater discharges on well casing damage." *J. of Water and Wastewater*, 60, 77-87. (In Persian)
- 16- Safari, H., Afshar, A., Ghaheri, A., Abrishamchi, A., and Tajrishi, M. (2007). "A quality- quantity simulation model for stream-aquifer interaction." *J. of Water and Wastewater*, 61, 2-14. (In Persian)
- 17- Asghari Moghadam, A., Nourani, V., and Kord, M. (2009). "Using genetic algorithm of estimate hydraulic parameters of unconfined aquifers." *J. of Water and Wastewater*, 69, 73-79. (In Persian)

- 18- Fars Regional Water Organization. (1996). *Reports on Shiraz plain, studies*, Shiraz. (In Persian)
- 19- Tehran, K., and Nabavi, H. (1985). *Brochures for stratigraphic geology and Zagros geological reports*, Iran Surveying Organization, Tehran. (In Persian)
- 20- Parab Consulting Eng. Co. (1993. *Feasibility studies on water table drawdown in southeastern Shiraz and its transfer to Sarvestan Plain, Vol. 3*, Shiraz. (In Persian)